

УДК 535.372.2:546.77

## ЛЮМИНЕСЦЕНЦИЯ Ln-Zr-СОДЕРЖАЩИХ МОЛИБДАТОВ

© 2015 г. С. Г. Доржиева<sup>1</sup>, Ю. Л. Тушинова<sup>1</sup>, Б. Г. Базаров<sup>1</sup>, А. И. Непомнящих<sup>2</sup>,  
Р. Ю. Шендрик<sup>2</sup>, Ж. Г. Базарова<sup>1</sup>

E-mail: sdorzh@binm.bscnet.ru

Уточнены кристаллографические характеристики, исследованы оптические и термические свойства, синтезированных по керамической технологии Ln-Zr-содержащих молибдатов.

DOI: 10.7868/S0367676515020076

### ВВЕДЕНИЕ

Двойные молибдаты, содержащие редкоземельные элементы (РЗЭ), – это перспективные объекты для применения в лазерной физике и радиотехнике. Большая часть исследований направлена на изучение оптических свойств двойных молибдатов щелочных элементов с РЗЭ или активированных РЗЭ [1–6]. Исследования оптико-люминесцентных свойств позволяют расширить круг перспективных для оптического назначения соединений.

Ранее нами впервые был получен обширный круг Ln-Zr-содержащих молибдатов ( $\text{Ln} = \text{La}–\text{Tb}$ ) [7]. В настоящей работе представлены результаты исследования структурных, люминесцентных диэлектрических и термических характеристик  $\text{Ln}_2\text{Zr}_3(\text{MoO}_4)_9$  ( $\text{Ln} = \text{Ce}, \text{Pr}, \text{Eu}$ ).

### РЕНТГЕНОФАЗОВЫЙ АНАЛИЗ И УТОЧНЕНИЕ СТРУКТУРЫ

В качестве исходных реагентов для синтеза двойных молибдатов использовали  $\text{Eu}_2\text{O}_3$ ,  $\text{Pr}_6\text{O}_{11}$ ,  $\text{MoO}_3$  квалификации “х.ч.”,  $\text{Ce}(\text{NO}_3)_3 \cdot 6\text{H}_2\text{O}$  “ч.д.а.” и  $\text{ZrO}_2$ , полученный прокаливанием  $\text{ZrOCl}_2 \cdot 8\text{H}_2\text{O}$  “ч.”. Ступенчатый отжиг стехиометрических количеств соответствующих реагентов с гомогенизацией смеси через каждые  $50^\circ\text{C}$  проводили в течение 150 ч. Во избежание потерь  $\text{MoO}_3$  за счет возгонки прокаливание начинали с  $400^\circ\text{C}$ . Конечная температура синтеза молибдатов состава  $\text{Ln}_2\text{Zr}_3(\text{MoO}_4)_9$  ( $\text{Ln} = \text{Ce}, \text{Pr}, \text{Eu}$ ) составила  $700^\circ\text{C}$ .

Фазовый состав и полноту синтеза проверяли при помощи рентгенофазового анализа на дифрактометре Advance D8 фирмы Bruker с использованием  $\text{CuK}_\alpha$ -излучения в геометрии Брэгга–

Брентано с линейным детектором Vantec. Для уточнения структуры использовали массивы экспериментальных данных, полученных в интервале углов  $2\theta: 8^\circ–100^\circ$  при температуре 300 К. Пиковые положения были определены программой EVA, доступной в пакете программ ПК, DIFFRAC-PLUS, снабженном от Bruker.

Методом Ритвельда с помощью программы FullProff с пакетом программ WinPLOTR [8] по монокристалльным данным изоструктурного соединения  $\text{Nd}_2\text{Zr}_3(\text{MoO}_4)_9$  [9] были уточнены кристаллографические характеристики синтезированных соединений. Анализировалось соответствие между измеренной и вычисленной рентгенограммами. Для оценки качества проведенного уточнения и правильности выбранной модели использовали числовые значения  $R$ -факторов.

Рентгенофазовый анализ двойных молибдатов  $\text{Ln}_2\text{Zr}_3(\text{MoO}_4)_9$  ( $\text{Ln} = \text{Ce}, \text{Pr}, \text{Eu}$ ) показал, что получены однофазные керамические образцы, образующие изоструктурный ряд соединений. Уточнено строение двойных молибдатов, принадлежащих к тригональной сингонии (прототип  $\text{Nd}_2\text{Zr}_3(\text{MoO}_4)_9$ , пр. гр.  $\bar{R}\bar{3}c$ ,  $Z = 6$ ,  $a = 9.804(1)$  Å,  $c = 58.467(12)$  Å) (таблица). Измеренная и вычисленная рентгенограммы представлены на рис. 1. Кристаллическая структура представляет собой трехмерный каркас, в котором расположены в ромбоэдрическом порядке  $\text{LnO}_9$ -полиэдры и  $\text{ZrO}_6$ -октаэдры, соединенные между собой через общие кислородные вершины мостиковых Моттетраэдров двух сортов (рис. 2).

### ТЕРМИЧЕСКИЙ АНАЛИЗ

Дифференциальная сканирующая калориметрия (ДСК) проведена на термоанализаторе NETZSCH STA 449 C (Jupiter). Величина навески составляла 15–20 мг, скорость подъема температуры 10 К/мин. Образцом сравнения служил прокаленный  $\text{Al}_2\text{O}_3$ .

<sup>1</sup> Федеральное государственное бюджетное учреждение науки Байкальский институт природопользования Сибирского отделения Российской академии наук, Улан-Удэ.

<sup>2</sup> Федеральное государственное бюджетное учреждение науки Институт геохимии имени А.П. Виноградова Сибирского отделения Российской академии наук, Иркутск.

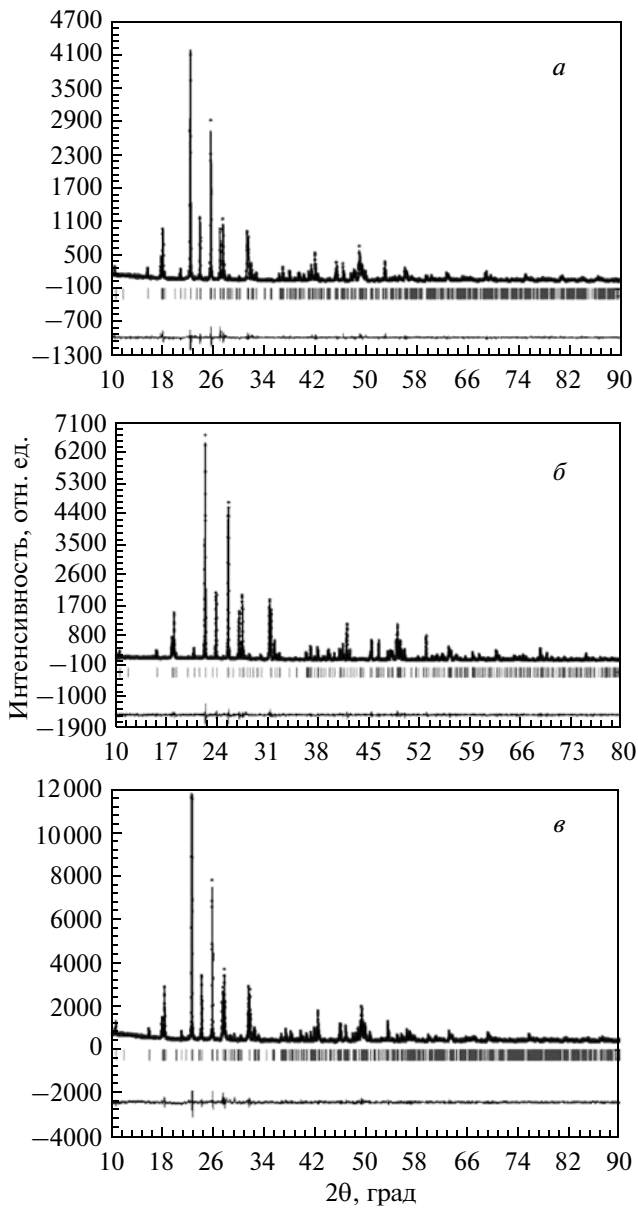


Рис. 1. Измеренная и вычисленная рентгенограммы: *а* –  $\text{Ce}_2\text{Zr}_3(\text{MoO}_4)_9$ , *б* –  $\text{Pr}_2\text{Zr}_3(\text{MoO}_4)_9$ , *в* –  $\text{Eu}_2\text{Zr}_3(\text{MoO}_4)_9$ .

Кристаллографические характеристики двойных молибдатов  $\text{Ln}_2\text{Zr}_3(\text{MoO}_4)_9$  ( $\text{Ln} = \text{Ce}, \text{Pr}, \text{Eu}$ )

Соединение	Параметры элементарной ячейки		$V, \text{\AA}^3$	$R$
	$a, \text{\AA}$	$c, \text{\AA}$		
$\text{Ce}_2\text{Zr}_3(\text{MoO}_4)_9$	9.8453(1)	58.8887(7)	4943.3(1)	$R_p - 0.088$ $R_{\text{Bragg}} - 0.058$ $R_f - 0.045$
$\text{Pr}_2\text{Zr}_3(\text{MoO}_4)_9$	9.8342(1)	58.7671(3)	4922.0(1)	$R_p - 0.081$ $R_{\text{Bragg}} - 0.037$ $R_f - 0.037$
$\text{Eu}_2\text{Zr}_3(\text{MoO}_4)_9$	9.7867(1)	58.0907(1)	4818.5(1)	$R_p - 0.045$ $R_{\text{Bragg}} - 0.066$ $R_f - 0.046$

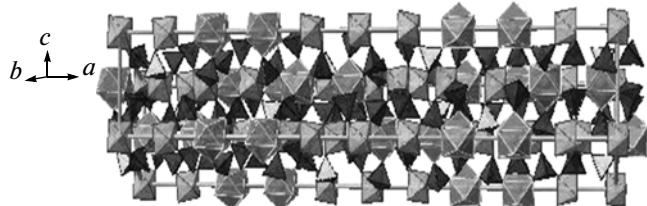


Рис. 2. Проекция кристаллической структуры  $\text{Ln}_2\text{Zr}_3(\text{MoO}_4)_9$  на плоскость 111.

Образцы нагрели до температуры 1050°C, при этом наблюдалась большая потеря массы и выделение теплоты. ДСК-кривые синтезированных соединений характеризуются наличием одного эндотермического эффекта (рис. 3). Температуры плавления  $\text{Ln}_2\text{Zr}_3(\text{MoO}_4)_9$ , где  $\text{Ln} = \text{Ce}, \text{Pr}$  и  $\text{Eu}$ , равные 996.5°C, 989.0 и 964.6°C соответственно, так же как и объем элементарной ячейки увеличиваются с возрастанием ионного радиуса лантанода по Шеннону [10]. Энталпия плавления составляет для  $\text{Ce}_2\text{Zr}_3(\text{MoO}_4)_9$  –222.6 кДж/моль,  $\text{Pr}_2\text{Zr}_3(\text{MoO}_4)_9$  –194.7 кДж/моль и  $\text{Eu}_2\text{Zr}_3(\text{MoO}_4)_9$  –183.2 кДж/моль.

## ОПТИЧЕСКАЯ СПЕКТРОСКОПИЯ

Спектры свечения, возбуждения и поглощения поликристаллических образцов двойных молибдатов измерены на оптических спектрометрах LS55 и Lambda950 фирмы Perkin-Elmer соответственно. Во время съемки спектров свечения и возбуждения порошок находился в кварцевой колбе, которая была помещена в заливной кварцевый криостат. При измерении спектров поглощения образцы в кварцевой ампуле помещали в центр интегрирующей сферы-приставки для спектрофотометра Perkin-Elmer Lambda-950 диаметром 50 мм.

Установлено, что из изученных соединений наибольший интерес представляет  $\text{Eu}_2\text{Zr}_3(\text{MoO}_4)_9$ , для которого наблюдается интенсивная фотolumинес-

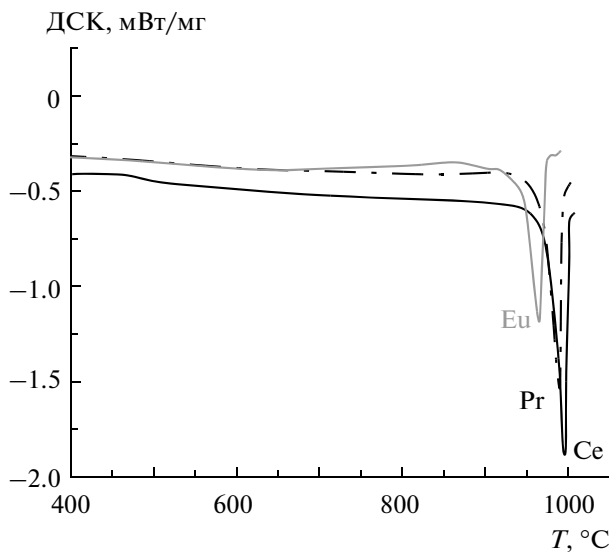


Рис. 3. ДСК-кривые  $\text{Ln}_2\text{Zr}_3(\text{MoO}_4)_9$  ( $\text{Ln} = \text{Ce}, \text{Pr}, \text{Eu}$ ).

ценция в “красной” области спектра при возбуждении  $\lambda_{\text{возб}} = 280$  нм. Ионы  $\text{Eu}^{3+}$  характеризуются  $f-f$ -переходами с максимальной полосой при 616–617 нм, соответствующей электронному переходу  $^5D_0-^7F_2$  (рис. 4а). Сравнение спектров люминесценции  $\text{Ln}_2\text{Zr}_3(\text{MoO}_4)_9$  ( $\text{Ln} = \text{Ce}, \text{Pr}, \text{Eu}$ ) при  $\lambda_{\text{возб.}} = 200$  нм показывает, что в диапазоне длин волн 300–550 нм наблюдается свечение основной матрицы молибдатов (рис. 4б).

При энергиях возбуждения в области 2.2–3.5 эВ спектры возбуждения исследованных образцов похожи и типичны для  $f-f$ -переходов в ионе  $\text{Eu}^{3+}$ ; определена их природа для двух интенсивных полос (рис. 4в). Положение этих полос в спектре возбуждения при 395 и 465 нм соответствует длинам волн, обычно используемым для возбуждения люминофоров в светодиодах. Сравнение спектров поглощения и возбуждения для  $\text{Eu}_2\text{Zr}_3(\text{MoO}_4)_9$  показало корреляцию между основными пиками.

## ЗАКЛЮЧЕНИЕ

Таким образом, в работе уточнено строение полученных при  $700^\circ\text{C}$  двойных молибдатов  $\text{Ln}_2\text{Zr}_3(\text{MoO}_4)_9$  ( $\text{Ln} = \text{Ce}, \text{Pr}$  и  $\text{Eu}$ ), принадлежащих к тригональной сингонии (пр. гр.  $R\bar{3}c$ ,  $Z = 6$ ). Структура состоит из ( $\text{Ln}, \text{Zr}$ )-стержней, смещенных относительно друг друга в ромбоэдрическом порядке и соединенных между собой через общие кислородные вершины мостиковых  $\text{MoO}_4$ -тетраэдров.

Температуры плавления  $\text{Ln}_2\text{Zr}_3(\text{MoO}_4)_9$  –  $964.6^\circ\text{C}$  ( $\text{Eu}$ ),  $989.0$  ( $\text{Pr}$ ) и  $996.5$  ( $\text{Ce}$ ) – и объем эле-

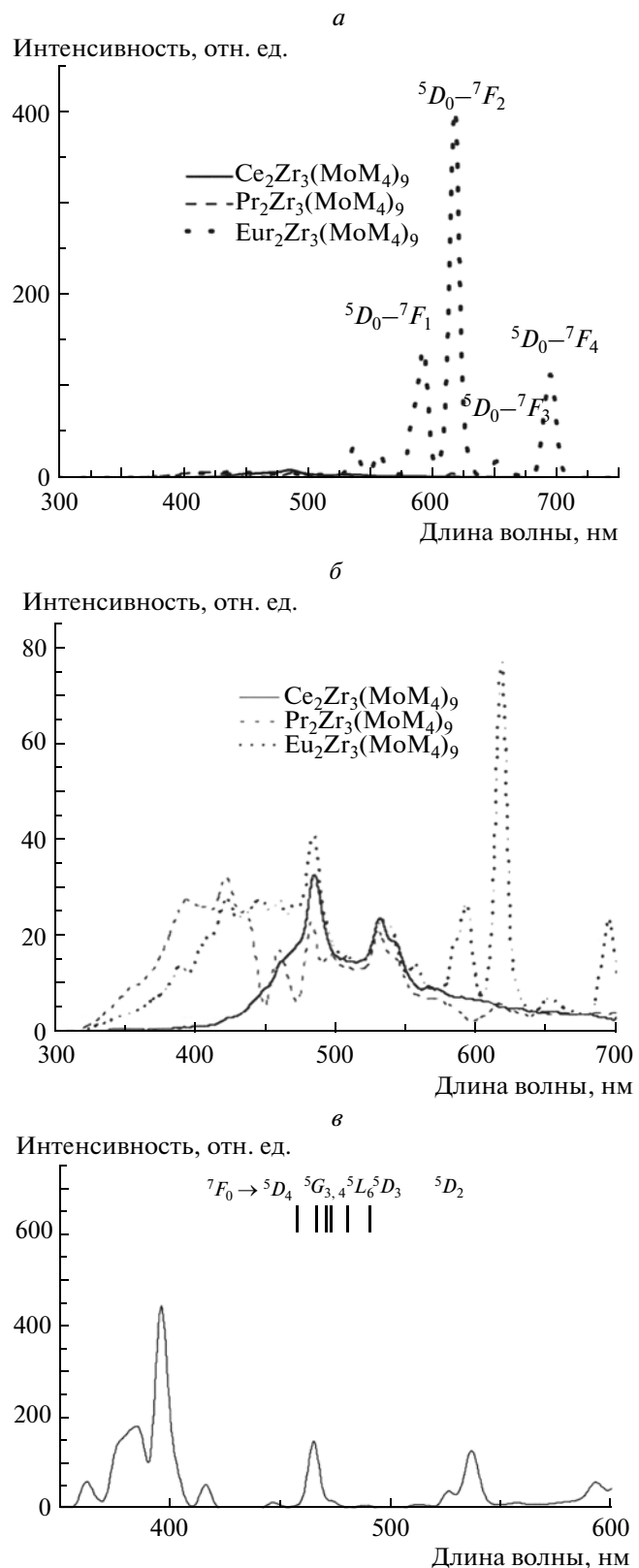


Рис. 4. Спектры люминесценции  $\text{Ln}_2\text{Zr}_3(\text{MoO}_4)_9$  ( $\text{Ln} = \text{Ce}, \text{Pr}, \text{Eu}$ ): а –  $\lambda_{\text{возб}} = 280$  нм, б –  $\lambda_{\text{возб}} = 200$  нм; в – возбуждения  $\text{Eu}_2\text{Zr}_3(\text{MoO}_4)_9$  ( $\lambda_{\text{св}} = 616$  нм).

ментарной ячейки увеличиваются с возрастанием ионного радиуса лантанида.

Установлено, что при возбуждении  $\lambda_{\text{возб}} = 280$  нм наблюдается интенсивная фотолюминесценция в “красной” области спектра  $\text{Eu}_2\text{Zr}_3(\text{MoO}_4)_9$ , характеризующееся  $f-f$ -переходами. Свечение основной матрицы молибдатов наблюдается в диапазоне длин волн 300–550 нм. Положение полос при 395 и 465 нм в спектре возбуждения соответствует длинам волн, обычно используемым для возбуждения люминофоров в светодиодах. Показано соответствие полос в спектрах поглощения и возбуждения  $\text{Eu}_2\text{Zr}_3(\text{MoO}_4)_9$ .

Работа выполнена при поддержке гранта Президента Российской Федерации МК-6247.2013.2, Президиума РАН (Программа № 8) и Междисциплинарного интеграционного проекта СО РАН № 28.

## СПИСОК ЛИТЕРАТУРЫ

1. *Antic-Fidancev E., Cascales C., Lema~tre-Blaise M. et al.* // *J. Alloys Compd.* 1994. V. 207/208. P. 178.
2. *Benoit G., Veronique J., Arnaud A. et al.* // *Solid State Sci.* 2011. V. 13. P. 460.
3. *Wang Z., Liang H., Gong M., Q. Su* // *J. Alloys Compd.* 2007. V. 432. P. 308.
4. *Zhang Ya., Xiong L., Li X., Guo Ju. et al.* // *Mater. Sci. Eng. B*. 2012. V. 177. P. 341.
5. *Lu Z., Wanjun V.* // *Ceram. Int.* 2012. V. 38. P. 837.
6. Воронько Ю.К., Жариков Е.В., Лис Д.А. и др. // Физика тв. тела. 2008. Т. 50. Вып. 9. С. 1547.
7. Базарова Ж.Г., Тушинова Ю.Л., Базаров Б.Г. и др. // Журн. неорган. химии. 2001. Т. 46. № 1. С. 146.
8. *Roisnel T., Rodriguez-Carvajal J.* // *Mater. Sci. Forum.* 2001. V. 378–381. P. 118.
9. Клевцова Р.Ф., Соловьев С.Ф., Тушинова Ю.Л. и др. // Журн. структур химии. 2000. Т. 41. С. 343.
10. *Shannon R.D.* // *Acta Crystallogr. A*. 1976. V. 32. P. 75.